

ОБ ИЗМЕРЕНИИ СОПРОТИВЛЕНИЯ СВЯЗИ ЗАМЕДЛЯЮЩИХ СИСТЕМ

В. Г. Шульга, А. Г. Шеин

В электронных приборах СВЧ с длительным взаимодействием связь между электронным потоком и полем бегущей волны характеризуется величиной сопротивления связи [1]:

$$R_{\text{св}} = \frac{E_{rk}^2}{2\beta_k^2 P}, \quad (1)$$

где E_{rk} — амплитуда продольной составляющей электрического поля для k -ой пространственной гармоники;

β_k — фазовая постоянная распространения k -ой пространственной гармоники.

P — поток мощности, переносимый в замедляющей системе бегущей волной.

Поскольку теоретическое определение сопротивления связи в большинстве случаев является трудной задачей из-за сложных граничных поверхностей замедляющих систем, то, как правило, прибегают к экспериментальному определению его величины.

Одним из наиболее приемлемых способов экспериментального определения величины сопротивления связи является метод малых возмущений частоты. Сущность этого метода состоит в определении продольной составляющей электрического поля посредством измерения абсолютных сдвигов частоты макета замедляющей системы при введении в него малого возмущающего тела [2].

Используя теорему возмущений Слэттера [2], можно показать, что

$$\frac{\Delta\lambda}{\lambda} = -\frac{1}{2} \frac{\int (\mu H^2 - \epsilon E^2) dV}{\int (\mu H^2 - \epsilon E^2) dV}, \quad (2)$$

где $\Delta\lambda$ — объем возмущающего тела;

V — объем резонатора.

Из (2) легко заметить, что при введении малого диэлектрического возмущающего тела происходит изменение резонансной частоты резонатора, пропорциональное величине электрической составляющей поля, т. е.

$$E_{\text{отв}} \sim \sqrt{\Delta\lambda}. \quad (3)$$

Учитывая, что поток мощности, проходящей вдоль системы, определяется как

$$P = v_{\text{тр}} W, \quad (4)$$

где v_{rp} — скорость распространения энергии вдоль системы;
 W — запас энергии на единицу длины системы, и подставляя (4) в (1), получаем

$$R_{cb} = \frac{E_{rk}^2}{2\beta_k^2 v_{rp} W} = \frac{1}{2\beta_k^2 v_{rp}} \frac{E_{rk}^2}{W}. \quad (5)$$

Величины $\beta_k = \frac{\omega}{v_k}$ и v_{rp} находятся из дисперсионной характеристики.

Следовательно, для вычисления величины сопротивления связи необходимо найти отношение $\frac{E_{rk}^2}{W}$. Это отношение определяется с помощью введения малого возмущающего тела в замедляющую систему. Действительно, используя теорему Слэттера (2), можно показать, что [2]

$$\frac{E_{rk}^2}{W} = 480\pi \frac{c}{\lambda} D \left(\frac{\Delta\lambda}{\Delta\tau} \right)_{\Delta\tau=0}, \quad (6)$$

где D — общая длина макета.

λ — длина волны соответствующего резонанса;

$\Delta\lambda$ — смещение резонансной длины волны.

Соотношение (6) справедливо при $\Delta\tau \rightarrow 0$, т. е. при внесении возмущающего тела существенно не изменяется распределение поля в замедляющей системе.

Учитывая вышеизложенное и в соответствии с (5) и (6), получаем окончательное выражение для экспериментального определения величины сопротивления связи:

$$R_{cb} = \frac{30}{\pi} \left(\frac{E_r}{E_i} \right) \frac{c}{v_{rp}} \left(\frac{\sigma_\phi}{c} \right)^2 \lambda D \left(\frac{\Delta\lambda}{\Delta\tau} \right)_{\Delta\tau=0}, \quad (7)$$

где E_i — величина возмущенного электрического поля;

E_i определяется из разложения функции в ряд Фурье для соответствующего вида колебаний [2].

В основе предлагаемого метода тоже лежит способ малых возмущений частоты. Но в этом случае объемный резонатор используется как частотный дискриминатор, что исключает необходимость измерения абсолютных сдвигов частоты [3].

В самом деле, вследствие того, что короткозамкнутый отрезок замедляющей системы обладает резонансными свойствами, изменение его собственной частоты (частота возбуждающего поля остается неизменной) вызывает изменение амплитуды высокочастотного поля на выходе.

Предположим, что в системе существует только E , составляющая поля. Тогда из (2) при $H = 0$ получаем

$$\frac{\Delta\lambda}{\lambda} = \frac{1}{2} \left(\frac{\epsilon_1}{\epsilon_0} - 1 \right) \frac{\int \bar{E}^2 dV}{\int |\bar{E}|^2 dV}. \quad (8)$$

При $\Delta\tau \rightarrow 0$ можно считать, что поле E неизменно в этом объеме, т. е.

$$\frac{\Delta\lambda}{\lambda} = \frac{\Delta\tau}{2} \left(\frac{\epsilon_1}{\epsilon_0} - 1 \right) \frac{\int \bar{E}^2 dV}{\int |\bar{E}|^2 dV}. \quad (9)$$

Поскольку относительное изменение длины волны пропорционально изменению частоты, то это выражение можно переписать в виде [3]

$$\frac{\Delta\omega}{\omega} = \frac{\Delta\tau}{2} \left(\frac{\epsilon_1}{\epsilon_0} - 1 \right) \sqrt{\int |\bar{E}|^2 dV}. \quad (10)$$

В линейном приближении считаем, что приращение энергии резонатора при изменении частоты

$$\Delta w = \frac{dw}{d\omega} \Delta\omega, \quad (11)$$

где $\Delta\omega = \frac{W}{W_{\max}}$ — относительная энергия в системе;

W_{\max} — максимальная энергия в системе.

Тогда, с учетом частотной характеристики системы, приращение сигнала после детектора можно представить как

$$\Delta w = \frac{dw}{d\epsilon} \frac{\Delta\omega}{\omega}, \quad (12)$$

где $\epsilon = \frac{\Delta\omega}{\omega}$ — относительное смещение частоты. Из соотношения (10) и (12) получаем

$$\bar{E} = \sqrt{2\Delta\omega \frac{1}{\frac{\epsilon_1}{\epsilon_0} - 1} \frac{d\epsilon}{d\omega} \sqrt{\int |\bar{E}|^2 dV}}. \quad (13)$$

Как известно [4],

$$R_{cb} = \frac{\frac{1}{S} \int_S E^2 dS}{2\beta^2 P} = \frac{1}{2\beta^2 v_{rp}} \frac{\frac{1}{S} \int_S |\bar{E}|^2 dS}{\frac{1}{2\tau_c D} \sqrt{\int_V |\bar{E}|^2 dV}}, \quad (14)$$

где η — волновое сопротивление;

D — длина системы.

Здесь учтено, что [5]

$$W_n = \frac{1}{2\tau_c T} \int_0^T \int_V |\bar{E}|^2 dV dt,$$

где W_n — полная энергия в системе;

$P = v_{rp} W_p$; $W_p = \frac{W_n}{D}$ — энергия, запасенная на единицу длины системы.

Подставляя (13) в (14) и производя несложные преобразования, получаем

$$R_{cb} = 2\eta \left(\frac{c}{v_{rp}} \right) \left(\frac{v_\phi}{c} \right)^2 \left(\frac{\lambda}{2\pi} \right)^2 \frac{D}{\Delta\tau} \frac{\frac{1}{S} \int_S \Delta\omega dS}{\frac{d\omega}{d\epsilon} \left(\frac{\epsilon_1}{\epsilon_0} - 1 \right)}, \quad (15)$$

$\frac{1}{S} \int_S \Delta\omega dS$ — функция, нормированная по площади поперечного сечения пространства взаимодействия.

Таким образом, для определения величины сопротивления связи, как и в предыдущем случае, необходимо наличие дисперсионной характеристики, по которой определяется v_{ϕ} и $v_{\text{гр}}$. Величина, пропорциональная E^2/W (1), по данному методу

определяется членом $\frac{\int \Delta \omega dS}{d\omega/d\varepsilon}$, характеризующим изменение сигнала на выходе системы при перемещении малого возмущающего тела; $\int \Delta \omega dS$ —

площадь фигуры, ограниченная огибающей сигнала при расстройке равной уровню $0,5 P_{\max}$; $d\omega/d\varepsilon$ — крутизна резонансной характеристики на линейном участке. Следовательно, в данном случае измерение малых сдвигов частоты, необходимое для опре-

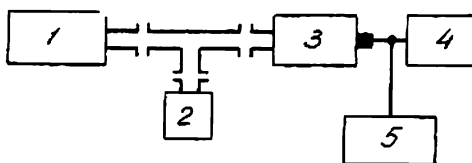
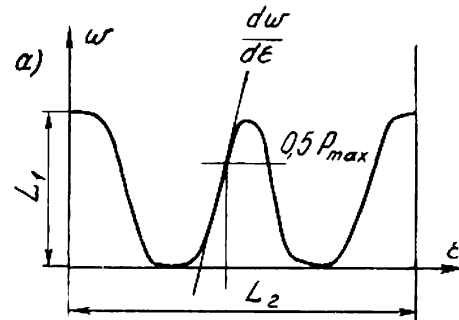


Рис. 1. Блок-схема измерений:

1 — генератор; 2 — волномер; 3 — исследуемая замедляющая система; 4 — индикатор резонанса; 5 — самописец.

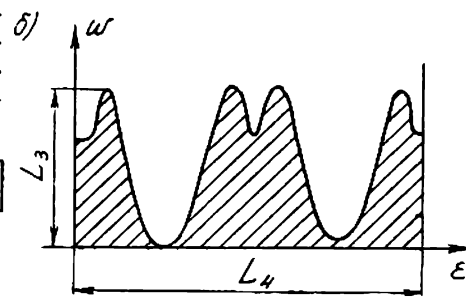


Рис. 2. Распределение поля вдоль замедляющей системы:

а) при настройке в резонанс; б) при расстройке, соответствующей $0,75 E_{\text{рез}}$.

деления E^2/W по соотношению (7), заменяется измерением амплитудной характеристики замедляющей системы.

Для того, чтобы определить величину сопротивления связи по предлагаемому методу, необходимо произвести следующие измерения:

1. Установить частоту, соответствующую настройке системы в резонанс. Перемещая возмущающее тело, записать распределение продольной составляющей электрического поля на ленту самописца (рис. 1). По полученной кривой определить крутизну частотной характеристики, т. е. $\frac{d\omega}{d\varepsilon}$ (рис. 2, а). Произвести нормировку приращения энергии ω и относительной расстройки ε на единицу длины записи, т. е. $\frac{d(\omega/L_1)}{d(\varepsilon/L_2)}$, где L_1 — максимальная величина записи изменения сигнала, а L_2 — полная длина ленты самописца, соответствующая относительной расстройке.

2. Установить частоту возбуждения, при которой уровень сигнала равен 0,75 от максимального, и записать распределение амплитуды сигнала вдоль оси системы на самописец. Произвести численное интегрирование площади фигуры, ограниченной кривой (рис. 2, б).

После проведенных выше преобразований и измерений получаем окончательное выражение для расчета сопротивления связи;

$$R_{cb} = 2\eta \left(\frac{c}{v_{rp}} \right) \left(\frac{v_\phi}{c} \right)^2 \left(\frac{\lambda}{2\pi} \right)^2 \frac{D}{\Delta\varepsilon} \frac{\left[\frac{\int \Delta w dS}{S} \right]}{\frac{S_{3n}}{d(w/L_1)} \left(\frac{\epsilon_1}{\epsilon_0} - 1 \right)}. \quad (16)$$

Предложенным способом была измерена величина сопротивления связи ряда замедляющих систем на диафрагмированных волноводах. На рис. 3 приведены экспериментальные (кривые 1 и 2) и теоретические (кривая 3) зависимости изменения R_{cb} от длины волны. Кривые 1 со-

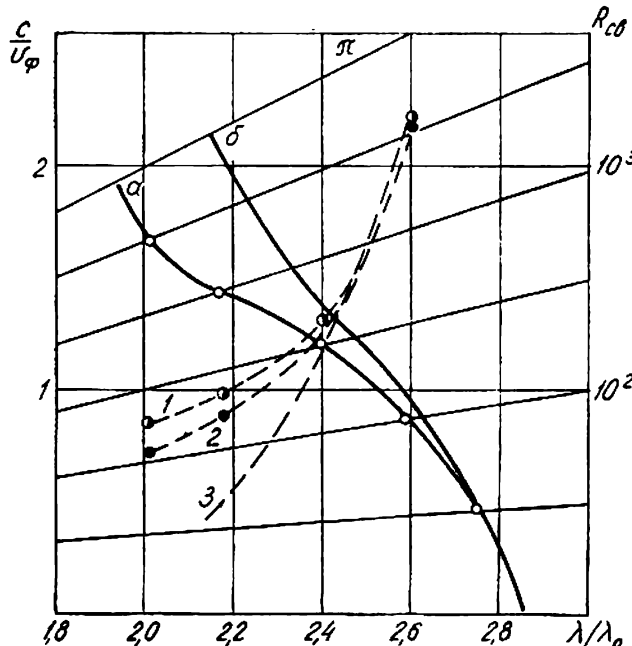


Рис. 3. Дисперсионные кривые и величины сопротивления связи для крестообразного диафрагмированного волновода:
а — экспериментальная; б — теоретическая.

ответствуют величинам R_{cb} , определенным по методу [2], а кривые 2 — предлагаемым методом. Как видно из рисунков, теоретические и экспериментальные данные достаточно хорошо совпадают при малых сдвигах фазы на период.

R_{cb} , измеренное по методу [2], отличается от расчетного на 19—23%, что находится в пределах погрешности этого метода. R_{cb} , измеренное по предлагаемому методу, отличается от теоретических данных на 10—12%. С ростом величины сдвига фазы на период расхождение между теоретическими и экспериментальными результатами увеличивается. Это объясняется неточностью теоретического расчета, при котором учитывалась только одна нулевая пространственная гармоника.

В результате экспериментального исследования и анализа погрешностей методов установлено, что предлагаемый метод обеспечивает большую точность измерений (погрешность не превышает 12%). Кроме того, существенным преимуществом метода является его использование для измерения малых величин сопротивления связи замедляющих систем, где метод [2] дает большие ошибки и практически не применим.